

2 Campo Elétrico no *Patch* Metálico

Neste capítulo, é apresentado o desenvolvimento da solução das Equações de Maxwell para o campo eletromagnético espalhado por um *patch* metálico. Tal estrutura é alimentada por um cabo coaxial situado no ponto (x_p, y_p) . Um filamento de corrente na direção \hat{z} de raio desprezível δ é o responsável pela indução de uma densidade superficial de corrente no *patch* metalizado e pela geração de campo elétrico. Como o *patch* está posicionado no plano $z = h$, paralelo ao plano xy , só há corrente induzida no plano $z = h$, ou seja, só é induzida corrente na superfície do *patch* além da corrente de excitação no ponto (x_p, y_p) . É considerado que o substrato em questão é sem perdas e que o plano de terra no qual ele está apoiado (plano $z = 0$) é um condutor elétrico perfeito e infinito.

As equações de Maxwell podem ser escritas como:

$$\nabla \times \bar{E} = -j\omega\mu\bar{H} \tag{2.1}$$

$$\nabla \times \bar{H} = j\omega\epsilon\bar{E} + \bar{J} \tag{2.2}$$

Estas equações são válidas para todo o espaço.

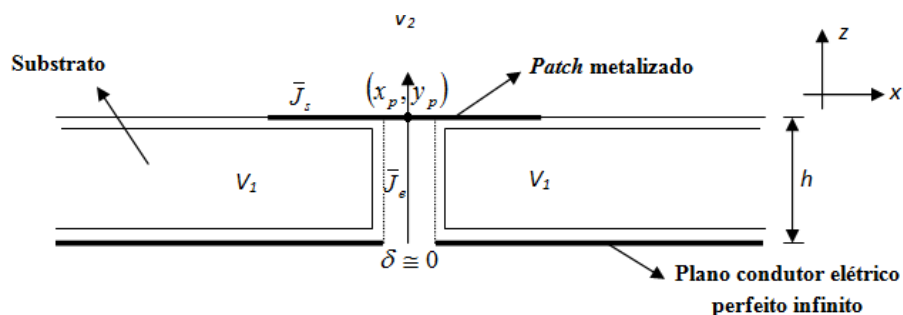


Figura 2.1 – *Patch* metálico sobre substrato apoiado em um plano de terra condutor elétrico perfeito infinito

O espaço pode ser dividido em duas regiões: V_1 e V_2 , que excluem os contornos condutores e o filamento de corrente de excitação. Como só há corrente na superfície do *patch* e no filamento de corrente de excitação, pode-se dizer que $\bar{J} = 0$ nas regiões V_1 e V_2 . Nestas regiões as equações de Maxwell se tornam:

$$\begin{aligned}\nabla \times \bar{E} &= -j\omega\mu\bar{H} \\ \nabla \times \bar{H} &= j\omega\epsilon\bar{E} \\ \bar{H} &= \frac{\nabla \times \bar{E}}{-j\omega\mu}\end{aligned}\tag{2.3}$$

$$\bar{E} = \frac{\nabla \times \bar{H}}{j\omega\epsilon}\tag{2.4}$$

Substituindo a Equação 2.3 na Equação 2.4 e a Equação 2.4 na Equação 2.3, tem-se que:

$$\nabla \times \left(\frac{\nabla \times \bar{H}}{j\omega\epsilon} \right) = -j\omega\mu\bar{H}\tag{2.5}$$

$$\nabla \times \left(\frac{\nabla \times \bar{E}}{-j\omega\mu} \right) = j\omega\epsilon\bar{E}\tag{2.6}$$

$$-\nabla \times \nabla \times \bar{E} + \omega^2 \mu\epsilon\bar{E} = 0\tag{2.7}$$

$$-\nabla \times \nabla \times \bar{H} + \omega^2 \mu\epsilon\bar{H} = 0\tag{2.8}$$

Aplicando a identidade vetorial $\nabla \times \nabla \times \bar{A} = \nabla(\nabla \cdot \bar{A}) - \nabla^2 \bar{A}$, onde \bar{A} é um vetor (e dessa forma pode ser substituído por \bar{E} ou \bar{H}), tem-se que:

$$\nabla^2 \bar{E} - \nabla(\nabla \cdot \bar{E}) + \omega^2 \mu\epsilon\bar{E} = 0\tag{2.9}$$

$$\nabla^2 \bar{H} - \nabla(\nabla \cdot \bar{H}) + \omega^2 \mu\epsilon\bar{H} = 0\tag{2.10}$$

Como não há carga elétrica no espaço V_1 e V_2 , pode ser aplicada a condição do divergente nulo $\nabla \cdot \bar{E} = 0$ à Equação 2.9 e $\nabla \cdot \bar{H} = 0$ à Equação 2.10:

$$\nabla^2 \bar{E} + \omega^2 \mu \epsilon \bar{E} = 0 \quad (2.11)$$

$$\nabla^2 \bar{H} + \omega^2 \mu \epsilon \bar{H} = 0 \quad (2.12)$$

As Equações 2.11 e 2.12 são equações vetoriais, que podem ser expressas por seis equações escalares, uma para cada direção x , y e z , uma vez que a base de vetores é retangular e o sistema de coordenadas é cartesiano. Resolvendo apenas as equações escalares para a componente na direção z , e usando a relação gerada entre as componentes pelas Equações de Maxwell 2.1 e 2.2, é possível chegar às expressões para os campos nas direções x e y . A partir das Equações 2.11 e 2.12, as equações escalares para a componente na direção z podem ser escritas como:

$$\frac{\partial^2 E_z}{\partial^2 x^2} + \frac{\partial^2 E_z}{\partial^2 y^2} + \frac{\partial^2 E_z}{\partial^2 z^2} + k^2 E_z = 0 \quad (2.13)$$

$$\frac{\partial^2 H_z}{\partial^2 x^2} + \frac{\partial^2 H_z}{\partial^2 y^2} + \frac{\partial^2 H_z}{\partial^2 z^2} + k^2 H_z = 0 \quad (2.14)$$

onde $k^2 = \mu \epsilon$.

Como mostrado em [6], as soluções das Equações 2.13 e 2.14 podem ser expressas na forma de ondas planas $e^{(\pm jk_x x \pm jk_y y \pm jk_z z)}$, onde $k^2 = k_x^2 + k_y^2 + k_z^2$ é o quadrado da constante de propagação de onda, e a constante de propagação em cada direção é dada por k_x , k_y e k_z . A constante de propagação k_z pode ser escrita como:

$$k_z^2 = k^2 - \beta^2 \quad (2.15)$$

onde $\beta^2 = k_x^2 + k_y^2$.

O que se tem é $k_z^2 = \epsilon_r k_0^2 - \beta^2 = k^2 - \beta^2$. Assumindo que $k_x = k \sin \theta \cos \phi$ e $k_y = k \sin \theta \sin \phi$, é possível dizer que: $k_x^2 + k_y^2 = k^2 \sin^2 \theta$ e, portanto $k_z^2 = k^2 - (k_x^2 + k_y^2) = k^2 \cos^2 \theta$. Assim, conclui-se que $k_z = k \cos \theta$, ou seja, a constante de propagação na direção \hat{z} nada mais é que a projeção da constante de propagação da onda no plano xy . Dessa forma, é possível chegar à conclusão de que a onda é plana.

O *patch* metálico em questão está apoiado em uma camada de substrato com constante de permissividade relativa ao ar ϵ_r e constante de permeabilidade μ_0 . Dessa forma, é possível separar o espaço em duas regiões com características de permeabilidade e permissividade distintas: o substrato (região I) com permeabilidade μ_0 e permissividade $\epsilon_0 \epsilon_r$, e o ar (região II) com permeabilidade μ_0 e permissividade ϵ_0 .

A expressão geral do campo elétrico e do campo magnético para cada região pode ser escrita como:

$$E_{z2} = A e^{-jk_2 z} \quad (\text{região II}) \quad (2.16)$$

$$H_{z2} = B e^{-jk_2 z} \quad (\text{região II}) \quad (2.17)$$

$$E_{z1} = C \cos(k_1 z) + D \sin(k_1 z) \quad (\text{região I}) \quad (2.18)$$

$$H_{z1} = E \sin(k_1 z) + F \cos(k_1 z) \quad (\text{região I}) \quad (2.19)$$

As Equações 2.16 e 2.17 expressam a solução para os campos na região II, que é o espaço livre. No espaço livre, a onda se propaga sem reflexões e, portanto, expressamos a solução da equação de onda como uma onda propagante. Já as Equações 2.18 e 2.19 expressam os campos na região I, que é o substrato. Os campos gerados pelo *patch*, ao se propagarem no sentido do substrato, são refletidos pelo plano de terra e geram um padrão descrito pelos senos e cossenos. Na interface entre as regiões I e II, a descontinuidade também produz campos refletidos, fazendo com que parte dos campos gerados pelo *patch* fique presa no substrato, gerando assim uma onda estacionária na direção z . O substrato funciona, desse modo, como um guia de onda, onde as ondas ficam confinadas.

As constantes nas Equações 2.16-19 são obtidas ao serem aplicadas condições de contorno específicas para cada região, que são apresentadas a seguir. O princípio da superposição é utilizado, supondo primeiramente que há corrente induzida apenas na direção \hat{x} , e depois supondo que há corrente induzida apenas na direção \hat{y} . Depois é feito o somatório dos resultados dos campos encontrados. É possível observar que a equação de onda apresentada para E_z e H_z só vale para o volume V_1 e V_2 , excluídos os contornos condutores metálicos, uma vez que é aplicada a condição do divergente nulo ao concluir que no interior destes volumes $\bar{J} = 0$. Isso não vale, no entanto, para os planos $z = h$ e $z = 0$. Para resolver o campo nesses planos são aplicadas as condições de contorno do problema, que são dadas por:

$$E_x = 0 \text{ para } z = 0 \quad (2.20)$$

$$E_y = 0 \text{ para } z = 0 \quad (2.21)$$

$$\text{Continuidade de } E_x \text{ em } z = h, \text{ ou seja : } E_{x1} = E_{x2} \quad (2.22)$$

$$\text{Continuidade de } E_y \text{ em } z = h, \text{ ou seja : } E_{y1} = E_{y2} \quad (2.23)$$

$$\text{Continuidade de } H_x \text{ em } z = h, \text{ ou seja : } H_{x1} = H_{x2} \quad (2.24)$$

$$\text{Continuidade de } H_y \text{ em } z = h, \text{ ou seja : } H_{y1} - H_{y2} = J_x \quad (2.25)$$

Para encontrar E_x , E_y , H_x e H_y é utilizada a relação entre o campo elétrico e o campo magnético que são dadas pelas Equações 2.1 e 2.2. Da Equação 2.1 é possível escrever:

$$H_x = \frac{1}{-j\omega\mu_0} \left(\frac{\partial E_z}{\partial y} - \frac{\partial E_y}{\partial z} \right) \quad (2.26)$$

$$H_y = \frac{1}{-j\omega\mu_0} \left(\frac{\partial E_x}{\partial z} - \frac{\partial E_z}{\partial x} \right) \quad (2.27)$$

$$H_z = \frac{1}{-j\omega\mu_0} \left(\frac{\partial E_y}{\partial x} - \frac{\partial E_x}{\partial y} \right) \quad (2.28)$$

Da Equação 2.2 é possível escrever:

$$E_x = -\frac{1}{j\omega\epsilon_0\epsilon_r} \left(\frac{\partial H_y}{\partial z} - \frac{\partial H_z}{\partial y} \right) \quad (2.29)$$

$$E_y = -\frac{1}{j\omega\epsilon_0\epsilon_r} \left(\frac{\partial H_z}{\partial x} - \frac{\partial H_x}{\partial z} \right) \quad (2.30)$$

$$E_z = -\frac{1}{j\omega\epsilon_0\epsilon_r} \left(\frac{\partial H_x}{\partial y} - \frac{\partial H_y}{\partial x} \right) \quad (2.31)$$

Para que seja possível chegar às expressões para E_x , E_y , H_x e H_y , através de uma série de manipulações apresentadas no Anexo, é aplicado o par de transformadas de Fourier:

$$\psi(x, y, z) = \frac{1}{4\pi^2} \int_{-\infty}^{\infty} \int_{-\infty}^{\infty} \tilde{\psi}(k_x, k_y, z) e^{jk_x x} e^{jk_y y} dk_x dk_y \quad (2.32)$$

$$\tilde{\psi}(k_x, k_y, z) = \int_{-\infty}^{\infty} \int_{-\infty}^{\infty} \psi(x, y, z) e^{-jk_x x} e^{-jk_y y} dx dy \quad (2.33)$$

O par de transformadas acima é o par de transformadas de Fourier do domínio espacial para o espectral ($x \rightarrow k_x$), ($y \rightarrow k_y$). No domínio temporal, a transformada faz ($t \rightarrow \omega$). O domínio espectral traz a vantagem de não ser necessário o trabalho com as derivadas envolvidas nas manipulações das Equações 2.26-31. Após as devidas manipulações e transformadas apresentadas no Anexo:

$$\tilde{E}_x = \frac{jk_x}{\beta^2} \frac{\partial \tilde{E}_z}{\partial z} + \frac{\omega\mu_0 k_y}{\beta^2} \tilde{H}_z \quad (2.34)$$

$$\tilde{E}_y = \frac{jk_y}{\beta^2} \frac{\partial \tilde{E}_z}{\partial z} - \frac{\omega\mu_0 k_x}{\beta^2} \tilde{H}_z \quad (2.35)$$

$$\tilde{H}_x = \frac{jk_x}{\beta^2} \frac{\partial \tilde{H}_z}{\partial z} - \frac{\omega\epsilon_0\epsilon_r k_y}{\beta^2} \tilde{E}_z \quad (2.36)$$

$$\tilde{H}_y = \frac{jk_y}{\beta^2} \frac{\partial \tilde{H}_z}{\partial z} + \frac{\omega\epsilon_0\epsilon_r k_x}{\beta^2} \tilde{E}_z \quad (2.37)$$

Aplicando a transformada de Fourier às Equações 2.16-19, é possível substituí-las nas Equações 2.34-37. As condições de contorno expressas pelas Equações 2.20-25 estão no domínio espacial, mas também valem para o domínio espectral, uma vez que o domínio espacial nada mais é que um somatório de todas as componentes do campo no domínio espectral. Dessa forma, para que o campo no domínio espacial atenda às condições de contorno, todas as suas componentes espectrais também devem atendê-las. Aplicando as condições de contorno no domínio espectral às expressões resultantes da substituição das Equações 2.16-19 no domínio espectral nas Equações 2.34-37, de acordo com o Anexo:

$$\tilde{E}_{z2} = \frac{k_x k_1 \sin(k_1 h)}{j\omega\epsilon_0 T_m} e^{-jk_2(z-h)} \tilde{J}_x \quad (2.38)$$

$$\tilde{H}_{z2} = \frac{-jk_y \sin(k_1 h)}{T_e} e^{-jk_2(z-h)} \tilde{J}_x \quad (2.39)$$

$$\tilde{E}_{z1} = \frac{k_x k_2 \cos(k_1 z)}{\omega\epsilon_0 T_m} \tilde{J}_x \quad (2.40)$$

$$\tilde{H}_{z1} = \frac{-jk_y \sin(k_1 z)}{T_e} \tilde{J}_x \quad (2.41)$$

onde:

$$T_m = \epsilon_r k_2 \cos(k_1 h) + jk_1 \sin(k_1 h)$$

$$T_e = k_1 \cos(k_1 h) + jk_2 \sin(k_1 h)$$

$$k_1^2 = \epsilon_r k_0^2 - \beta^2 : \text{quadrado da constante de propagação no meio 1}$$

$$k_2^2 = k_0^2 - \beta^2 : \text{quadrado da constante de propagação no meio 2}$$

As Equações 2.38-41, obtidas através das condições de contorno, expressam os campos elétrico e magnético no domínio espectral e, portanto, sua variação se dá com k_x , k_y e z . Quando a transformada inversa for aplicada, a variação se dará com x , y e z , que é o esperado.

Substituindo as Equações 2.38-41 nas Equações 2.34-37, chega-se às seguintes expressões para $z = h$ (o plano de interesse é o plano $z = h$ porque é

onde o *patch* se encontra; como o mesmo está ligeiramente acima da fronteira entre o ar e o substrato, está localizado na região II, e por isso as expressões usadas são as relativas ao campo desta região):

$$\tilde{E}_x(k_x, k_y, h) = \frac{-j}{\omega\epsilon_0} \left[\frac{k_x^2 k_1 k_2 \sin(k_1 h)}{\beta^2 T_m} + \frac{k_y^2 k_0^2 \sin(k_1 h)}{\beta^2 T_e} \right] \tilde{J}_x \quad (2.42)$$

$$\tilde{E}_y(k_x, k_y, h) = \frac{-j}{\omega\epsilon_0} \left[\frac{k_x k_y k_1 k_2 \sin(k_1 h)}{\beta^2 T_m} + \frac{k_x k_y k_0^2 \sin(k_1 h)}{\beta^2 T_e} \right] \tilde{J}_x \quad (2.43)$$

$$\tilde{E}_z(k_x, k_y, h) = \frac{-j}{\omega\epsilon_0} \frac{k_x k_1 \sin(k_1 h)}{T_m} \tilde{J}_x \quad (2.44)$$

De forma análoga, é possível obter as expressões da transformada das componentes x , y e z do campo elétrico, quando é suposta apenas corrente induzida na direção \hat{y} , \tilde{J}_y (a solução completa é obtida através da superposição das soluções apenas para \tilde{J}_y com as soluções apenas para \tilde{J}_x):

$$\tilde{E}_y(k_x, k_y, h) = \frac{-j}{\omega\epsilon_0} \left[\frac{k_y^2 k_1 k_2 \sin(k_1 h)}{\beta^2 T_m} + \frac{k_x^2 k_0^2 \sin(k_1 h)}{\beta^2 T_e} \right] \tilde{J}_y \quad (2.45)$$

$$\tilde{E}_x(k_x, k_y, h) = \frac{-j}{\omega\epsilon_0} \left[\frac{k_x k_y k_1 k_2 \sin(k_1 h)}{\beta^2 T_m} + \frac{k_x k_y k_0^2 \sin(k_1 h)}{\beta^2 T_e} \right] \tilde{J}_y \quad (2.46)$$

$$\tilde{E}_z(k_x, k_y, h) = \frac{-j}{\omega\epsilon_0} \frac{k_y k_1 \sin(k_1 h)}{T_m} \tilde{J}_y \quad (2.47)$$

Aplicando o princípio da superposição, é possível expressar o campo elétrico de forma matricial como:

$$\begin{bmatrix} \tilde{E}_x \\ \tilde{E}_y \\ \tilde{E}_z \end{bmatrix} = \begin{bmatrix} \tilde{Z}_{xx} & \tilde{Z}_{xy} \\ \tilde{Z}_{yx} & \tilde{Z}_{yy} \\ \tilde{Z}_{zx} & \tilde{Z}_{zy} \end{bmatrix} \begin{bmatrix} \tilde{J}_x \\ \tilde{J}_y \end{bmatrix} \quad (2.48)$$

$$\tilde{E}_x = \tilde{Z}_{xx} \tilde{J}_x + \tilde{Z}_{xy} \tilde{J}_y \quad (2.49)$$

$$\tilde{E}_y = \tilde{Z}_{yx} \tilde{J}_x + \tilde{Z}_{yy} \tilde{J}_y \quad (2.50)$$

$$\tilde{E}_z = \tilde{Z}_{zx} \tilde{J}_x + \tilde{Z}_{zy} \tilde{J}_y \quad (2.51)$$

Assim, é possível obter as seguintes expressões para as funções de Green para o campo elétrico [6]:

$$\tilde{Z}_{xx} = \frac{-j}{\omega \epsilon_0} \left[\frac{k_x^2 k_1 k_2 \sin(k_1 h)}{\beta^2 T_m} + \frac{k_y^2 k_0^2 \sin(k_1 h)}{\beta^2 T_e} \right] \quad (2.52)$$

$$\tilde{Z}_{xy} = \tilde{Z}_{yx} = \frac{-j}{\omega \epsilon_0} \left[\frac{k_x k_y k_1 k_2 \sin(k_1 h)}{\beta^2 T_m} + \frac{k_x k_y k_0^2 \sin(k_1 h)}{\beta^2 T_e} \right] \quad (2.53)$$

$$\tilde{Z}_{yy} = \frac{-j}{\omega \epsilon_0} \left[\frac{k_y^2 k_1 k_2 \sin(k_1 h)}{\beta^2 T_m} + \frac{k_x^2 k_0^2 \sin(k_1 h)}{\beta^2 T_e} \right] \quad (2.54)$$

$$\tilde{Z}_{zx} = \frac{-j}{\omega \epsilon_0} \frac{k_x k_1 \sin(k_1 h)}{T_m} \quad (2.55)$$

$$\tilde{Z}_{zy} = \frac{-j}{\omega \epsilon_0} \frac{k_y k_1 \sin(k_1 h)}{T_m} \quad (2.56)$$